

FIG. 1

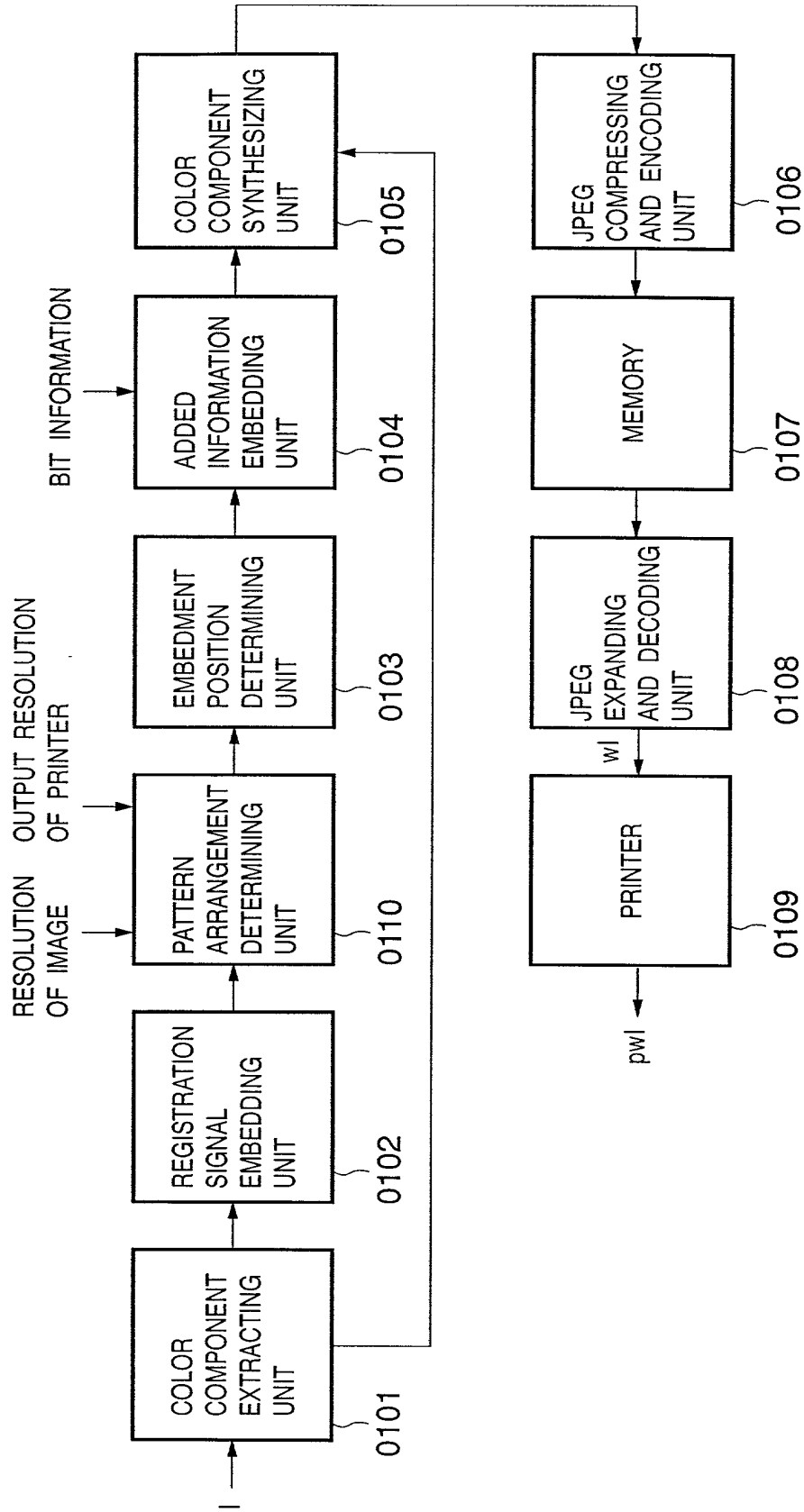


FIG. 2

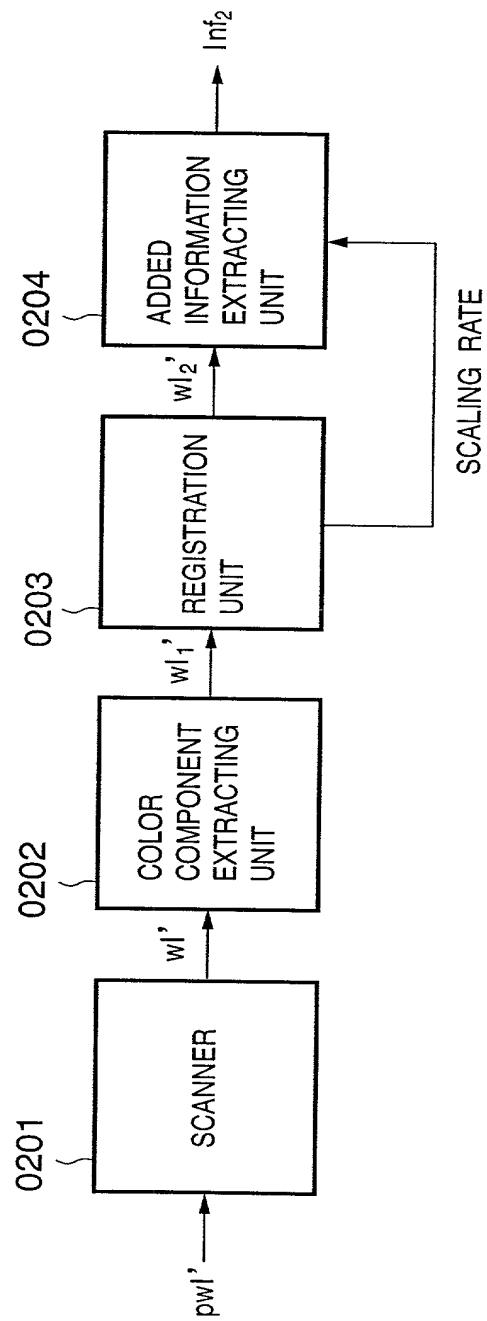


FIG. 3

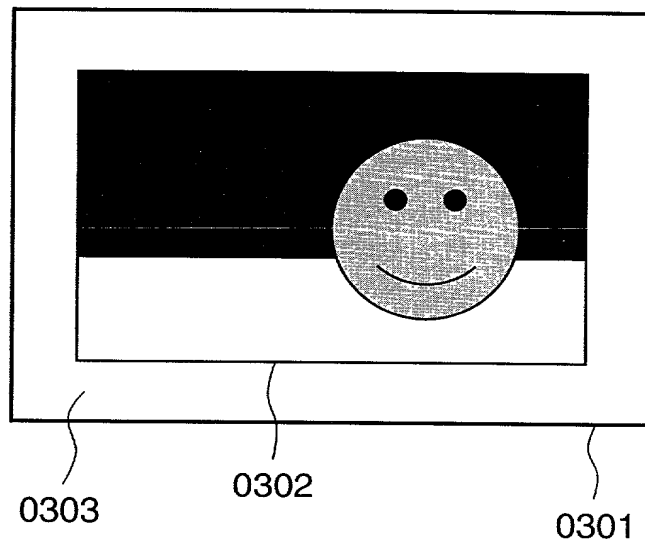


FIG. 4

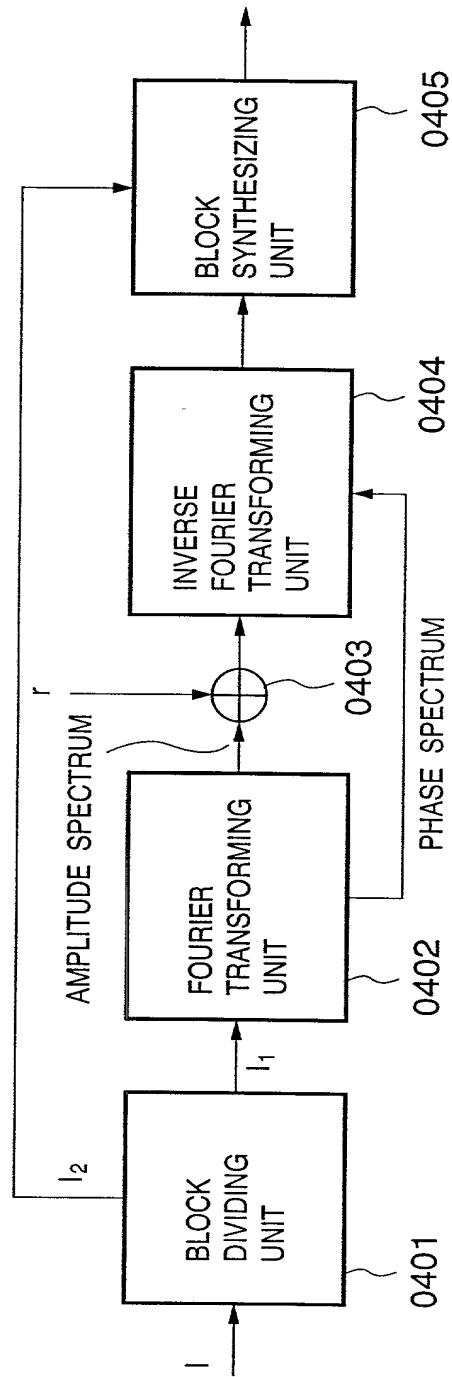


FIG. 5

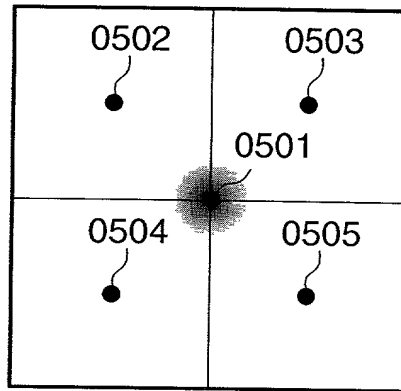


FIG. 6

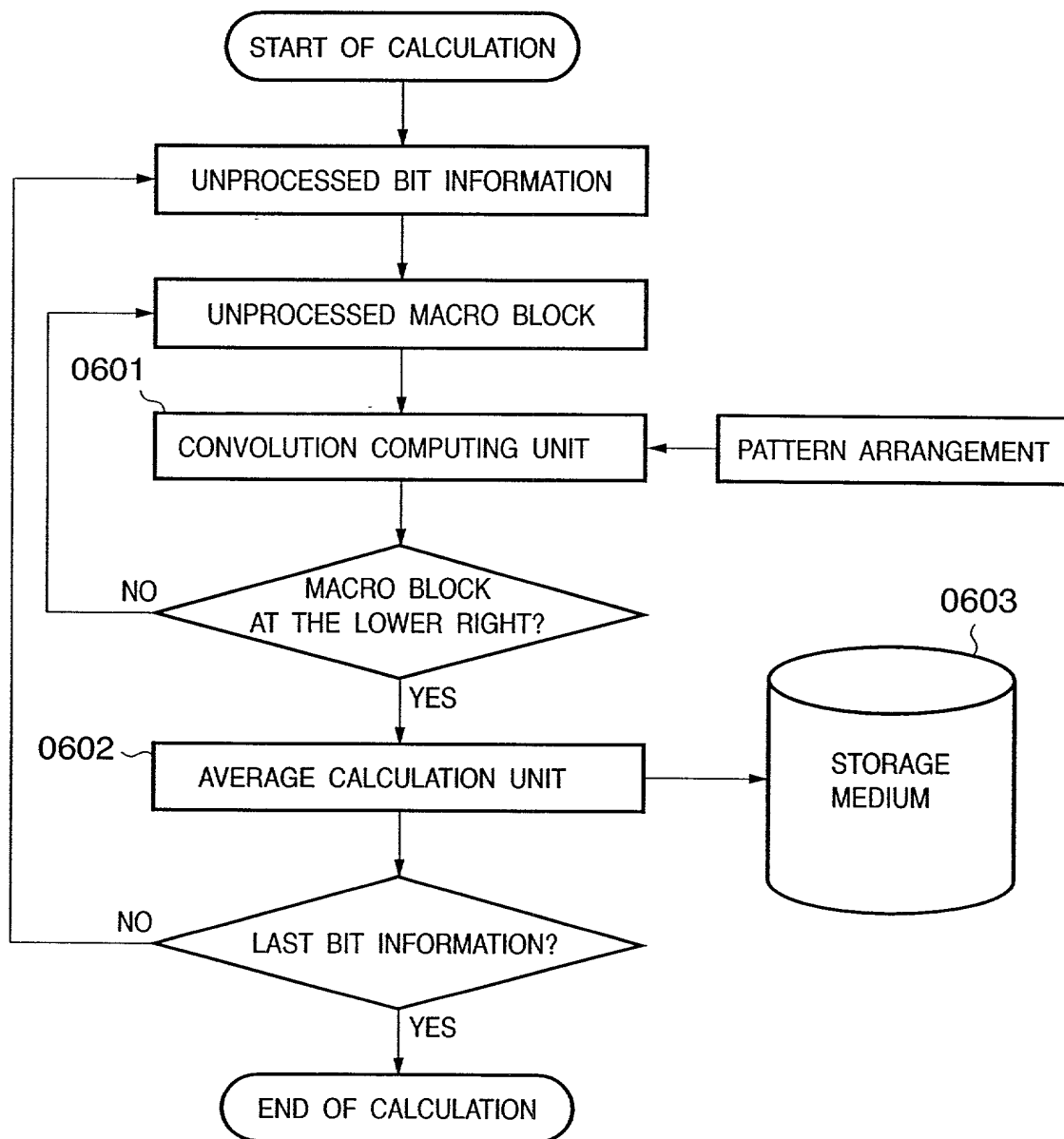


FIG. 7

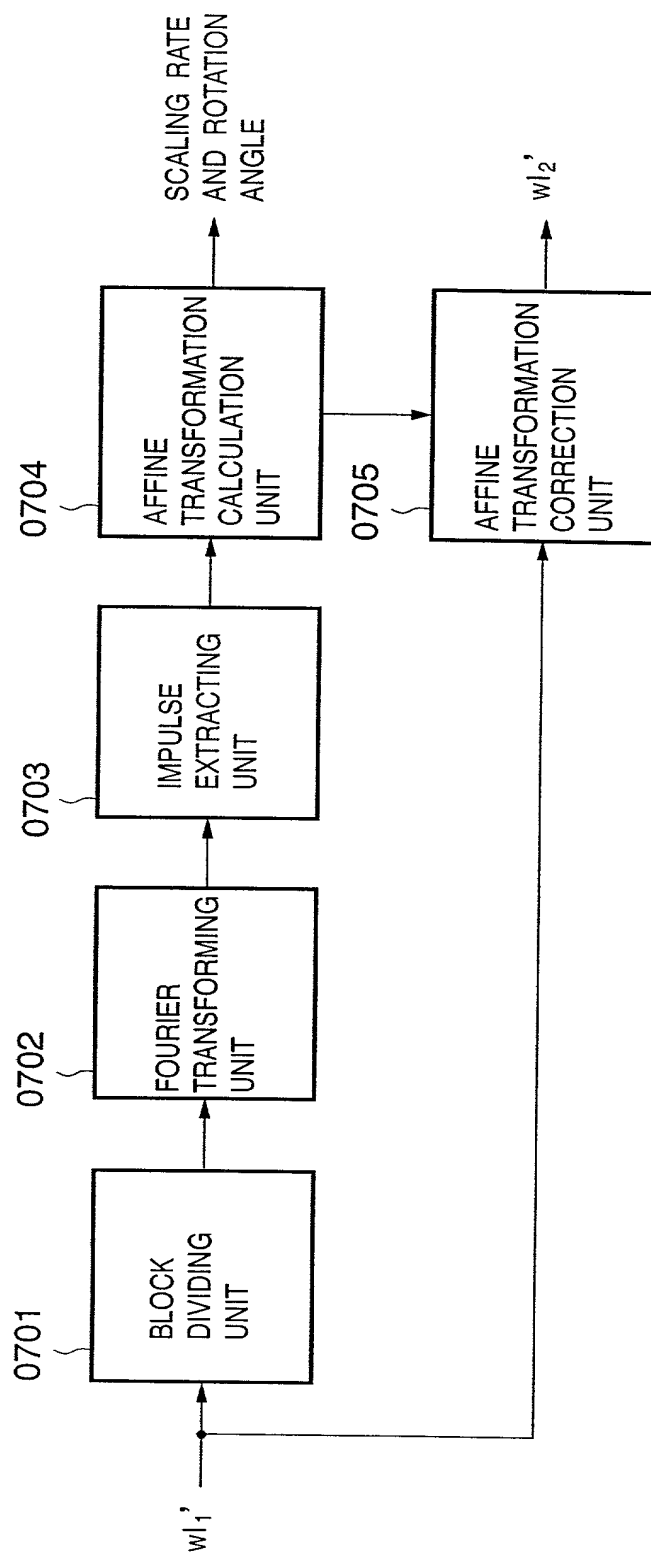


FIG. 8A

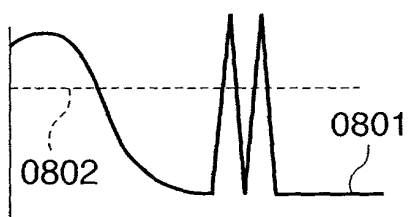


FIG. 8B

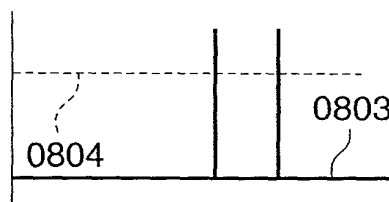


FIG. 9

0901

+C	+C	+C	+C	0	0	0	0
+C	+C	+C	+C	0	0	0	0
+C	+C	+C	+C	0	0	0	0
+C	+C	+C	+C	0	0	0	0
0	0	0	0	-C	-C	-C	-C
0	0	0	0	-C	-C	-C	-C
0	0	0	0	-C	-C	-C	-C
0	0	0	0	-C	-C	-C	-C

FIG. 10

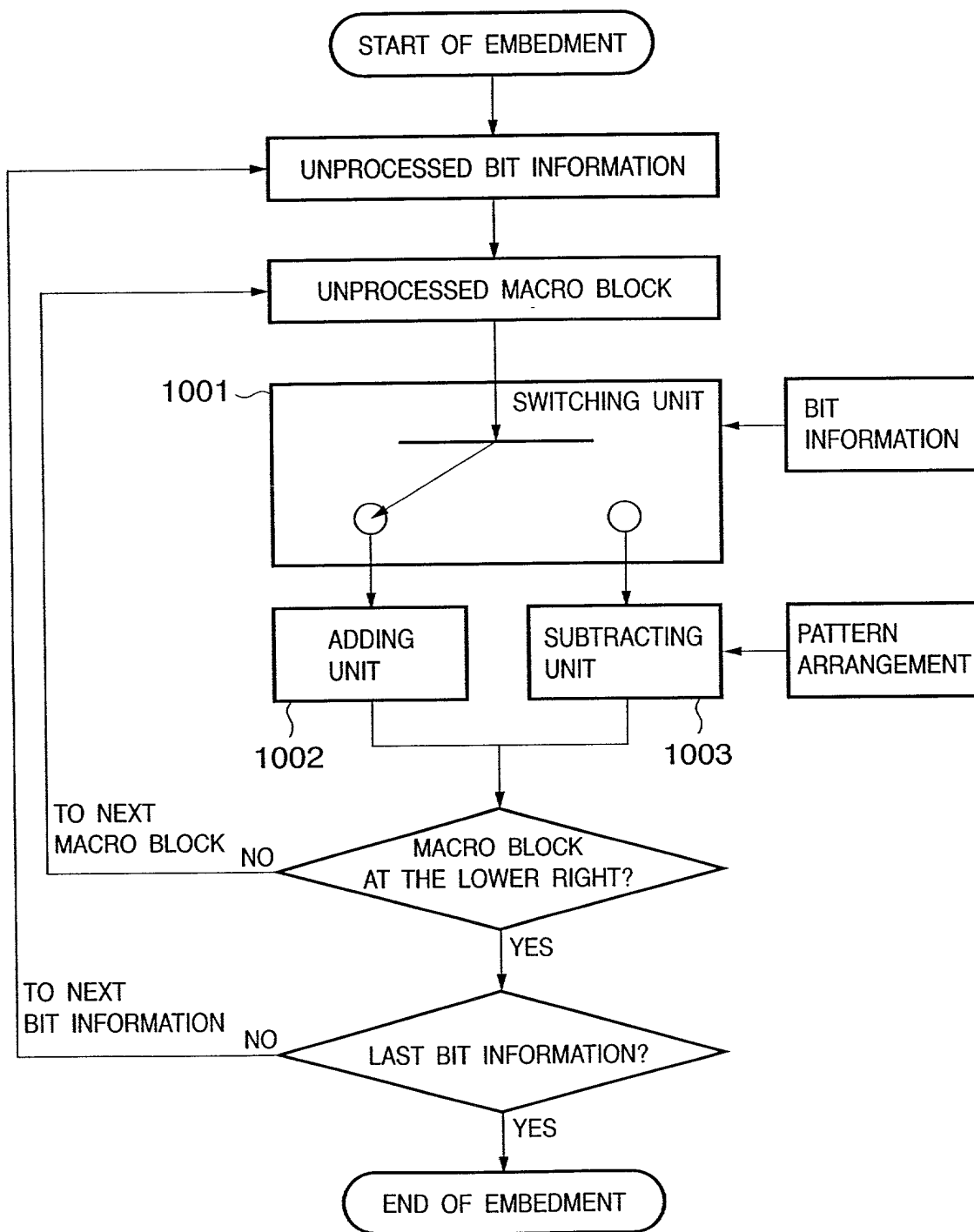


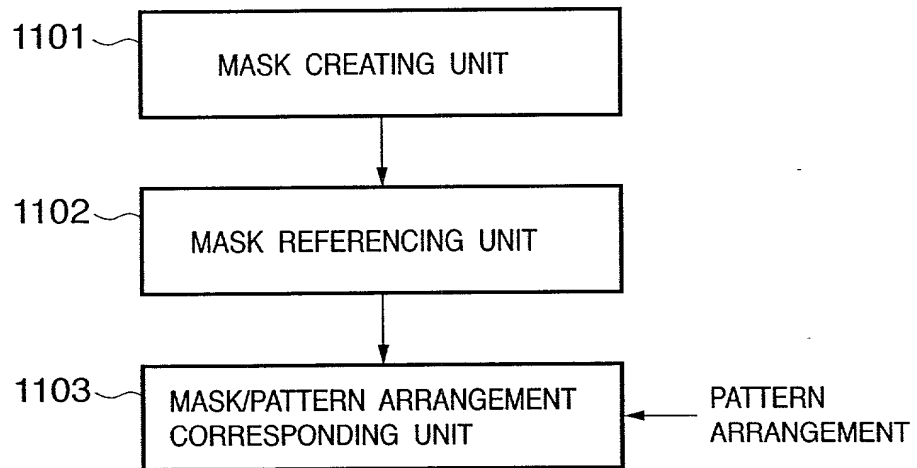
FIG. 11

FIG. 12

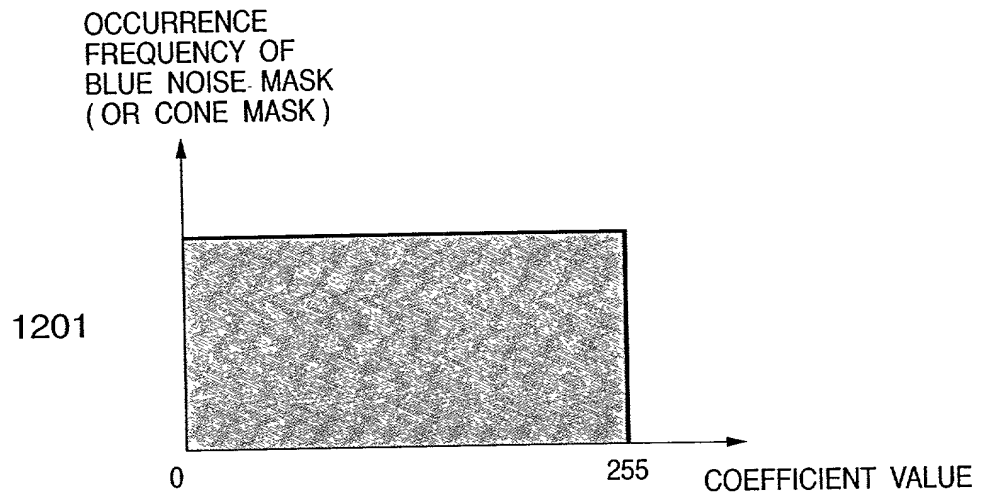


FIG. 13

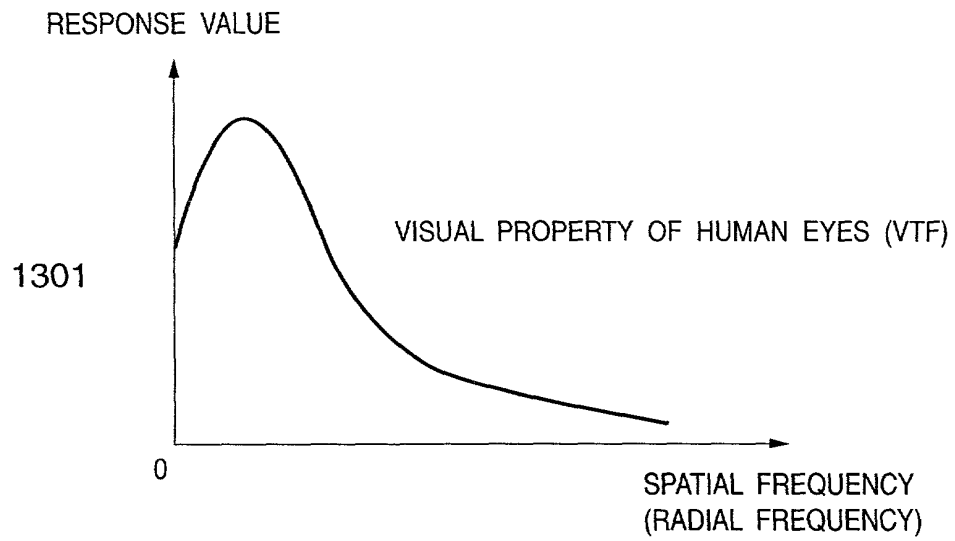


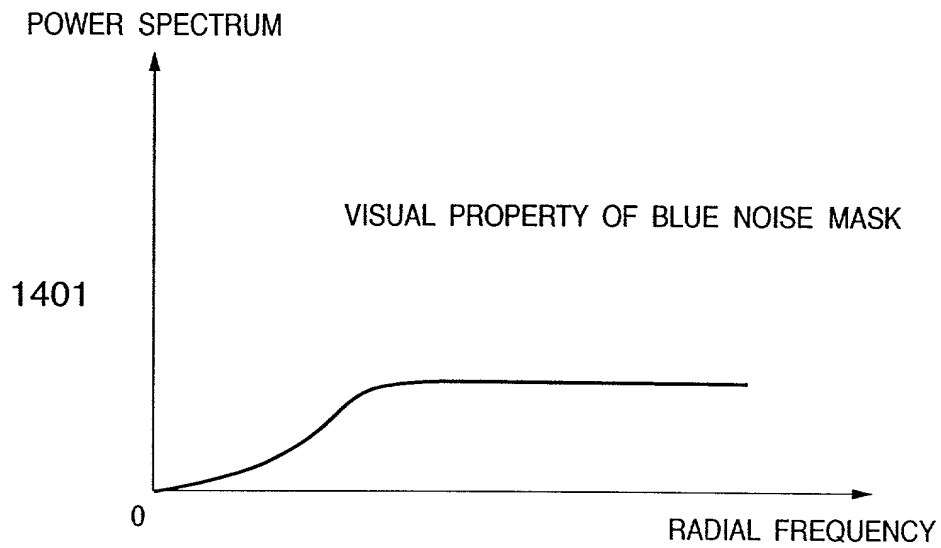
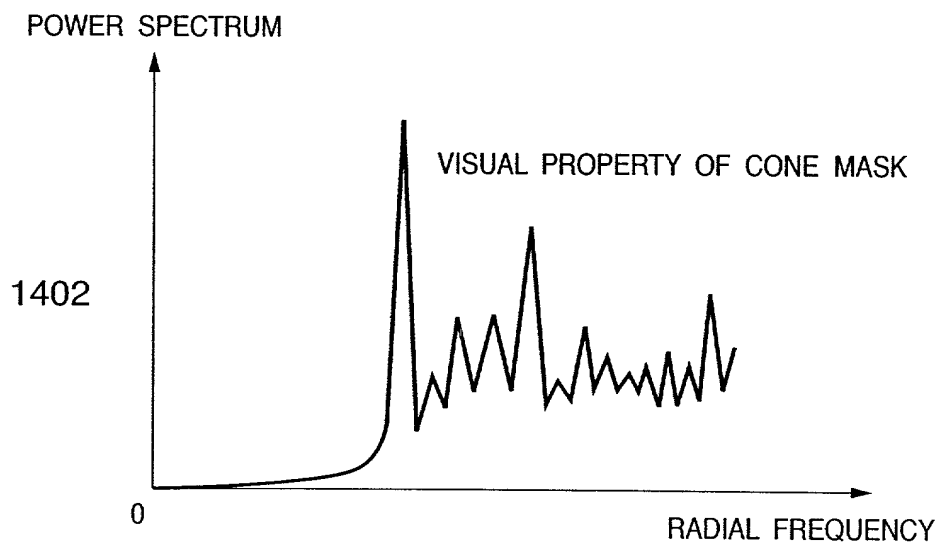
FIG. 14A**FIG. 14B**

FIG. 15

1501

0	14	13	3
11	5	6	8
7	9	10	4
12	2	1	15

FIG. 16

1601

0	14	13	3
11	5	6	8
7	9	10	4
12	2	1	15

FIG. 17A

1701

0	14	13	3
11	5	6	8
7	9	10	4
12	2	1	15

FIG. 17B

1702

1703

[illegible]

FIG. 18A

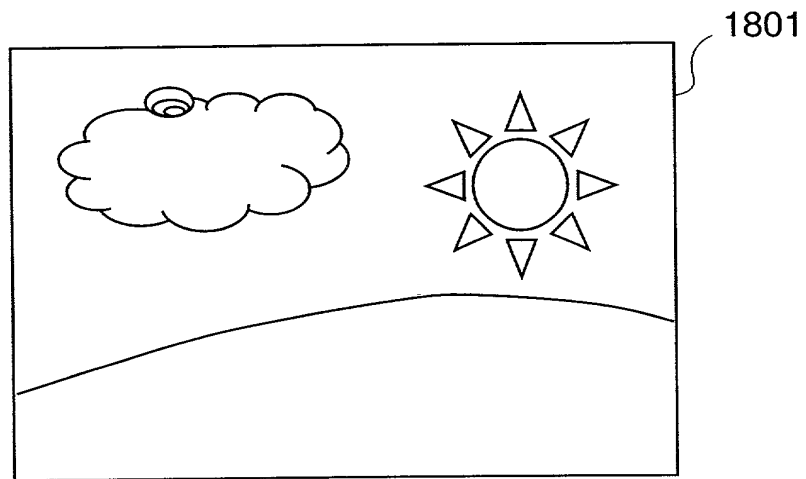


FIG. 18B

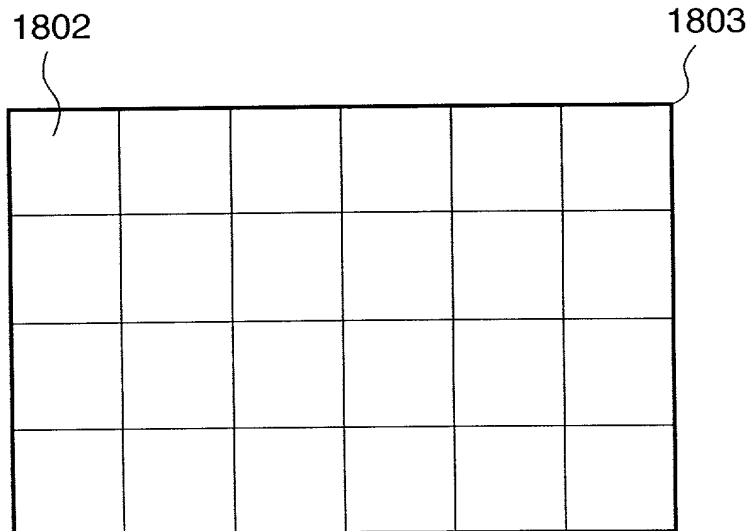


FIG. 19

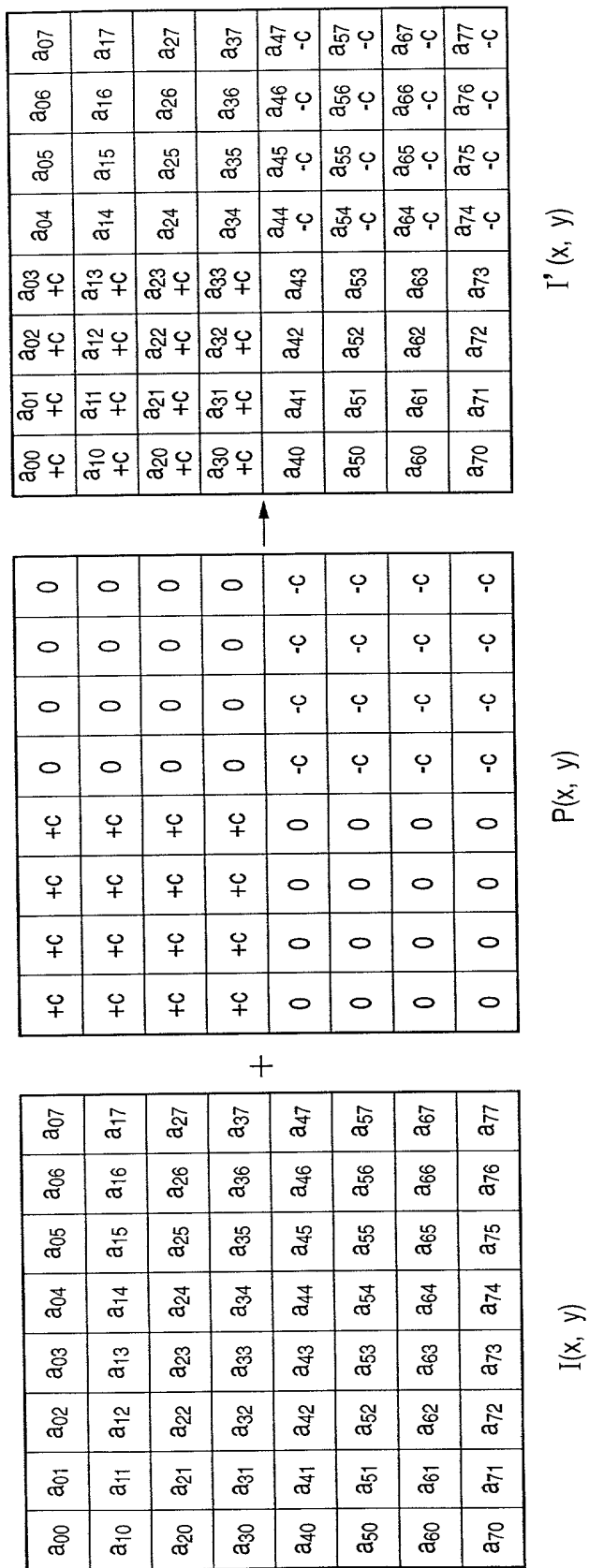


FIG. 20

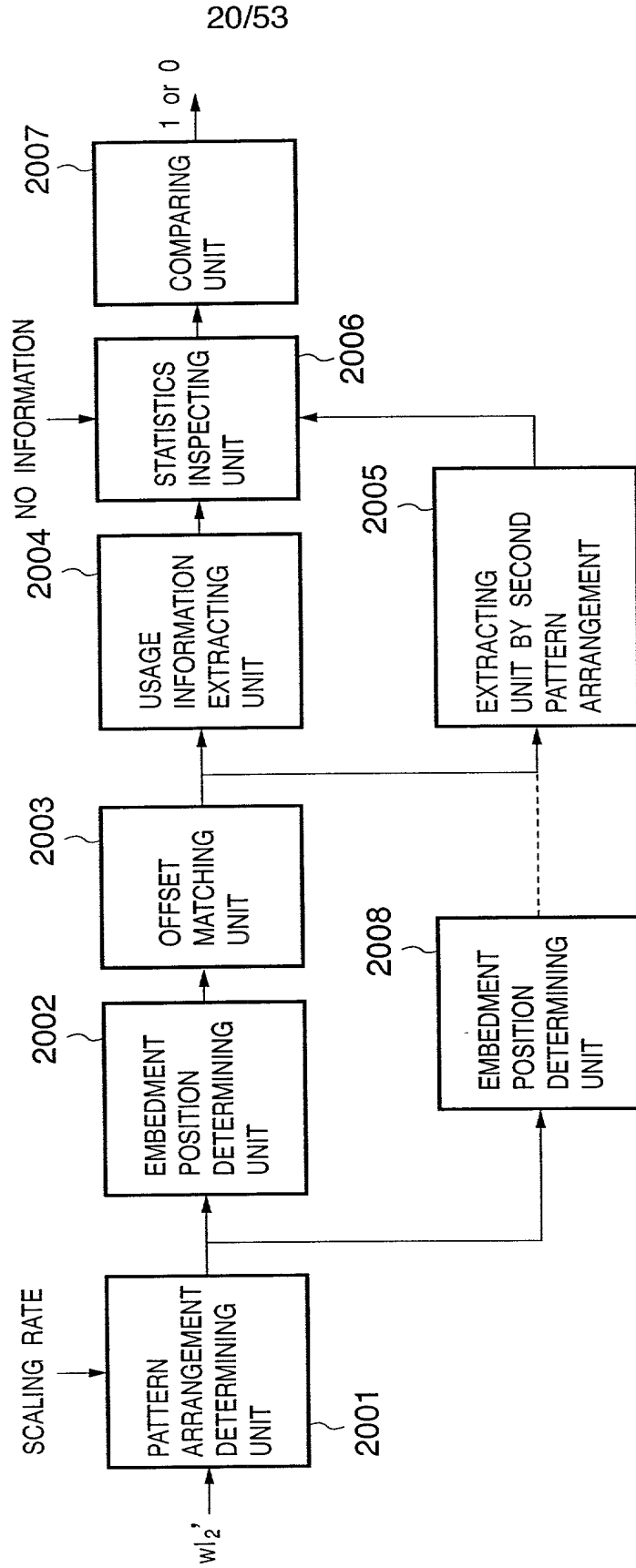


Diagram illustrating the convolution operation:

Input Matrix 1 (I''):

a00	a01	a02	a03
a10	a11	a12	a13
a20	a21	a22	a23
a30	a31	a32	a33

Input Matrix 2 (P(x, y)):

+C	+C	+C	+C
0	0	0	0
0	0	0	0
0	0	0	0

Result Matrix:

a04	a05	a06	a07
a14	a15	a16	a17
a24	a25	a26	a27
a34	a35	a36	a37

Calculation: $32C^2$

FIG. 22

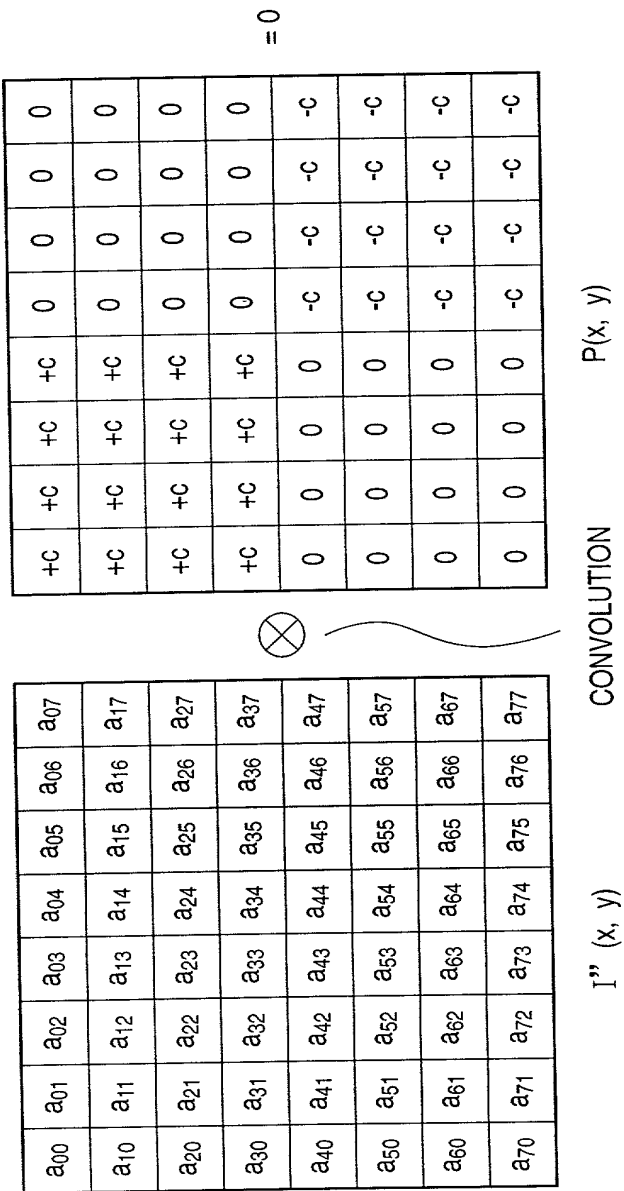


FIG. 23

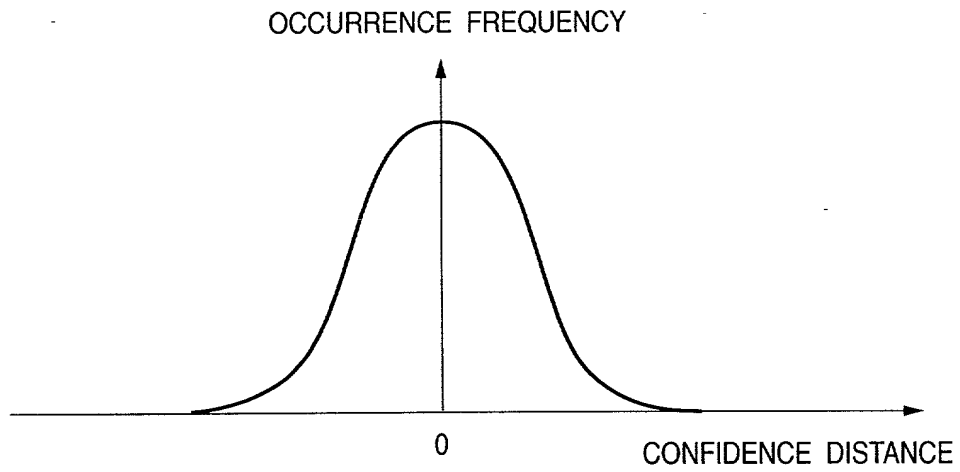


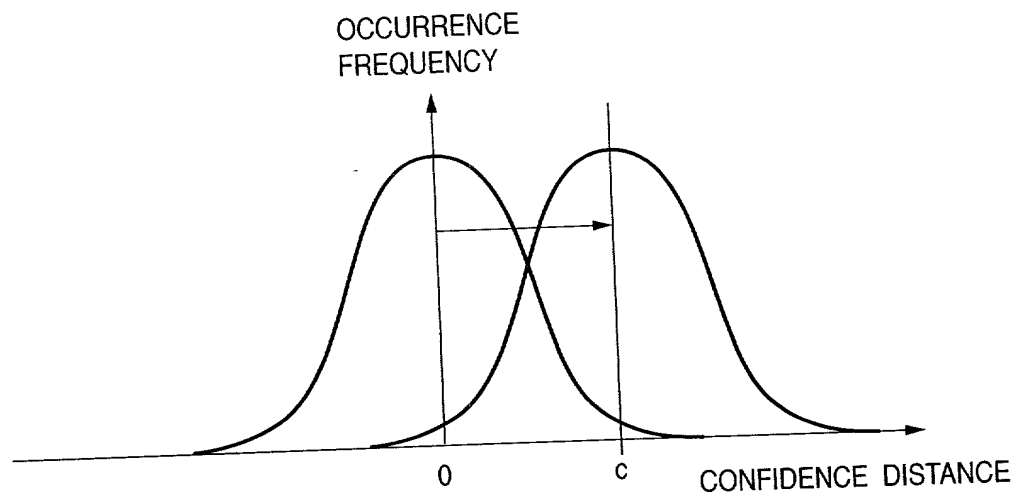
FIG. 24

FIG. 25

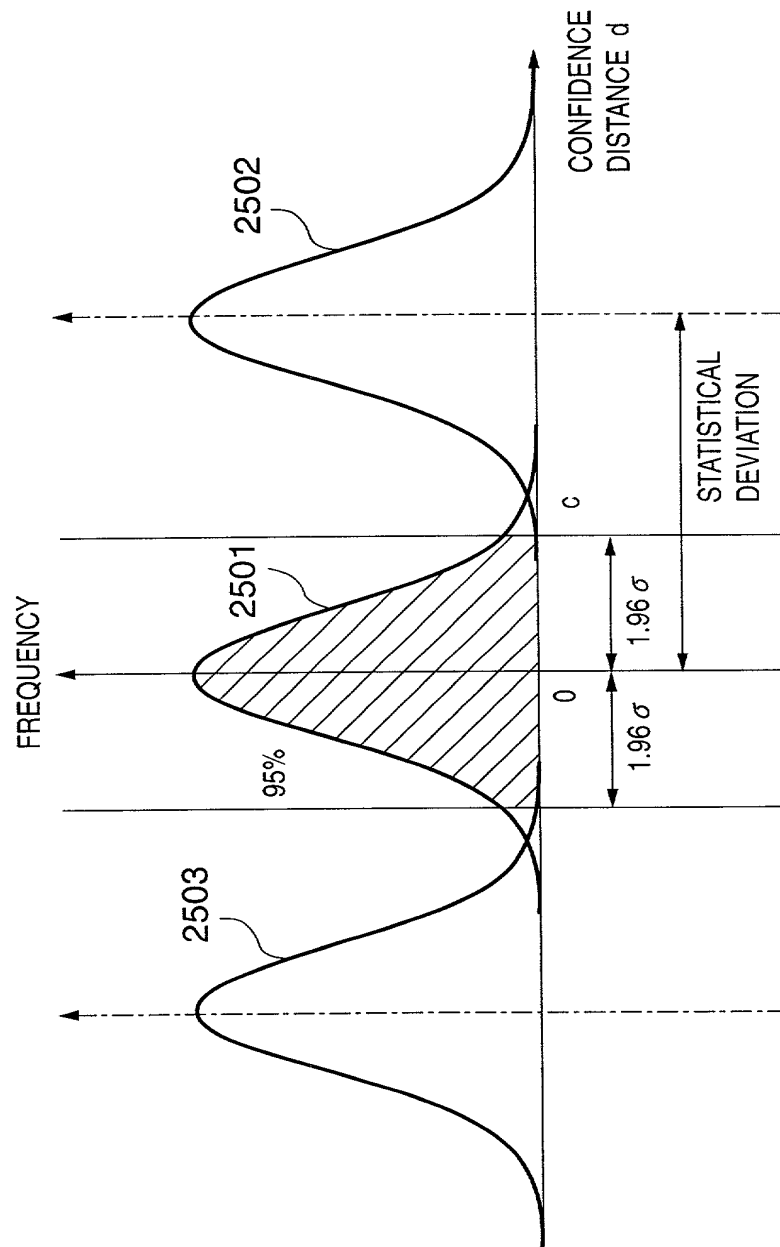


FIG. 26

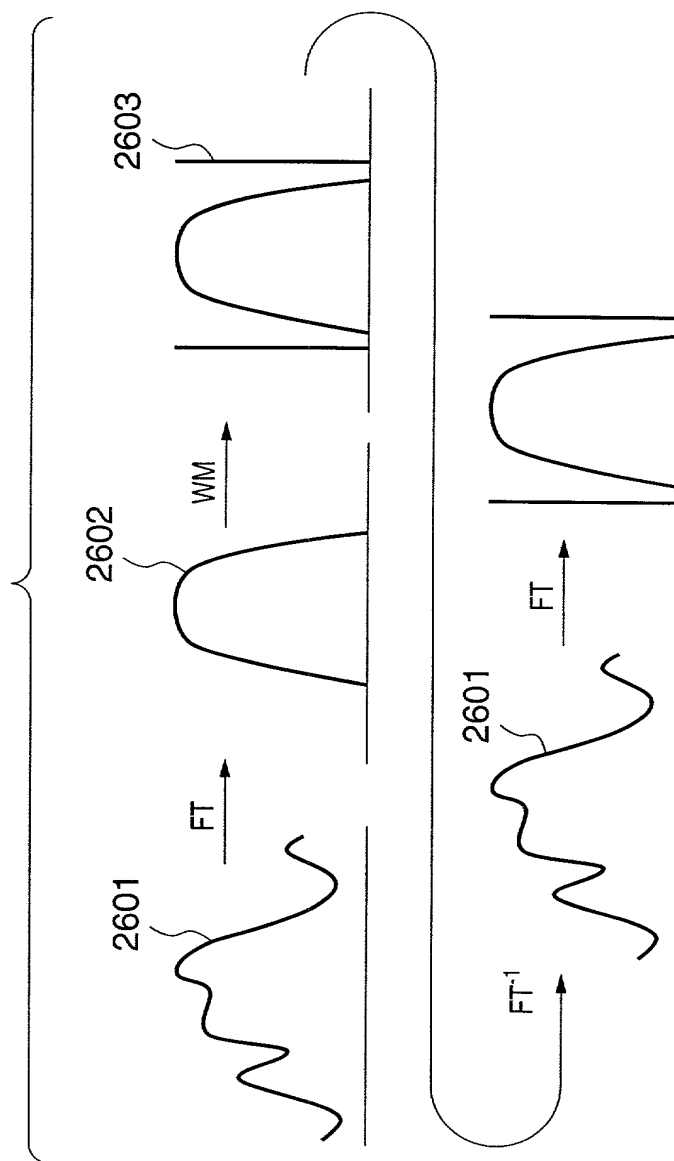


FIG. 27A

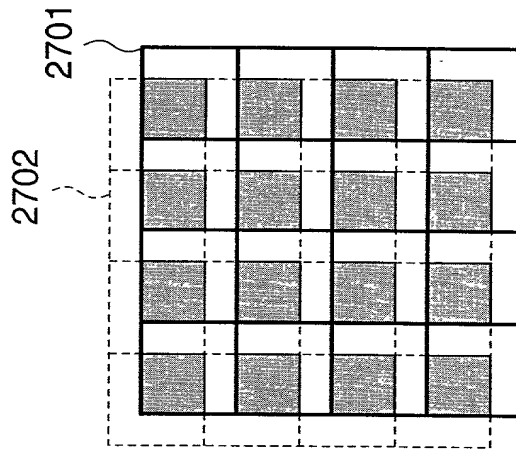


FIG. 27B

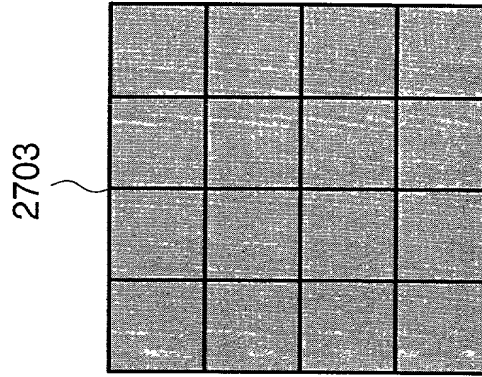


FIG. 27C

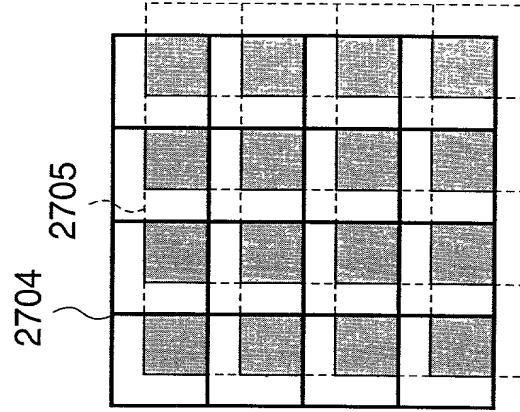


FIG. 28

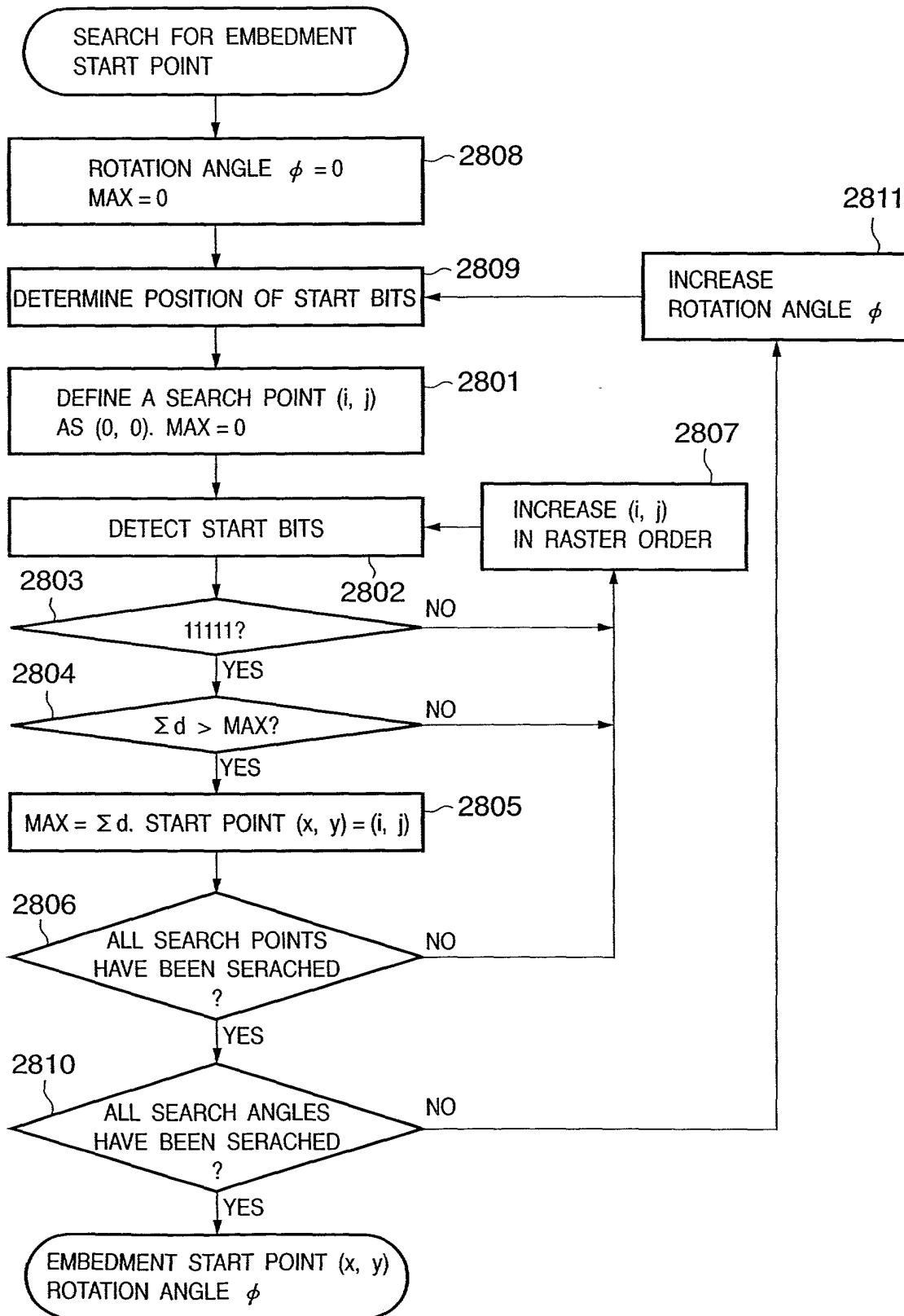


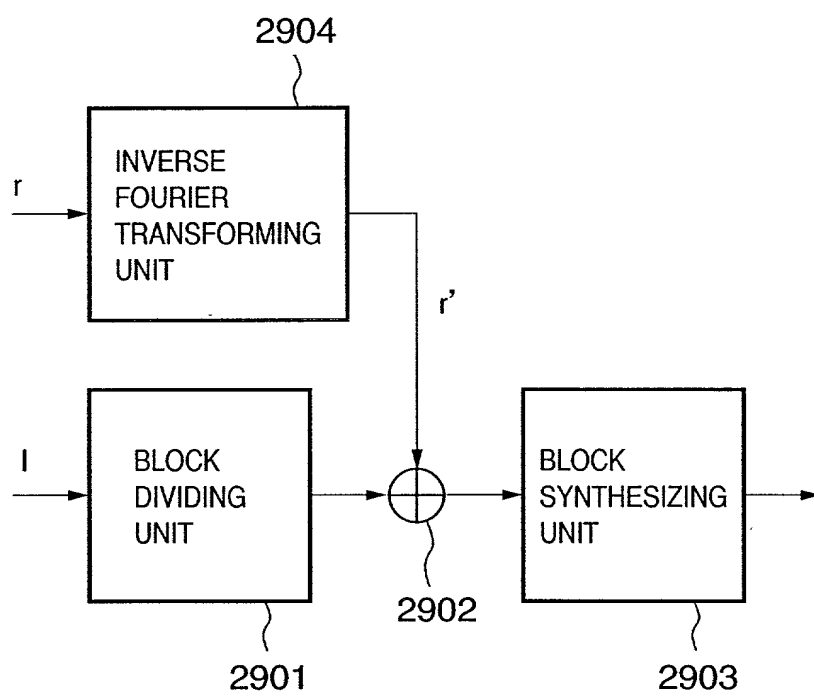
FIG. 29

FIG. 30

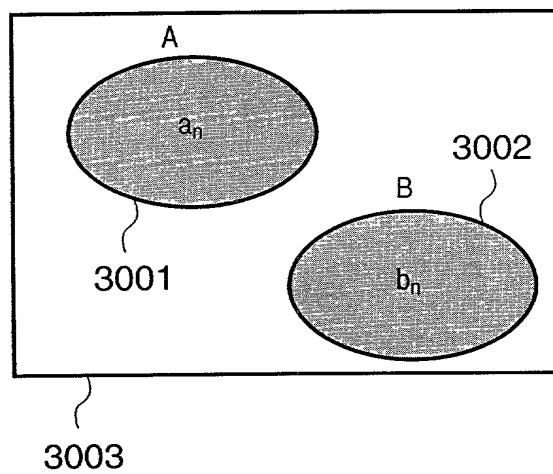


FIG. 31

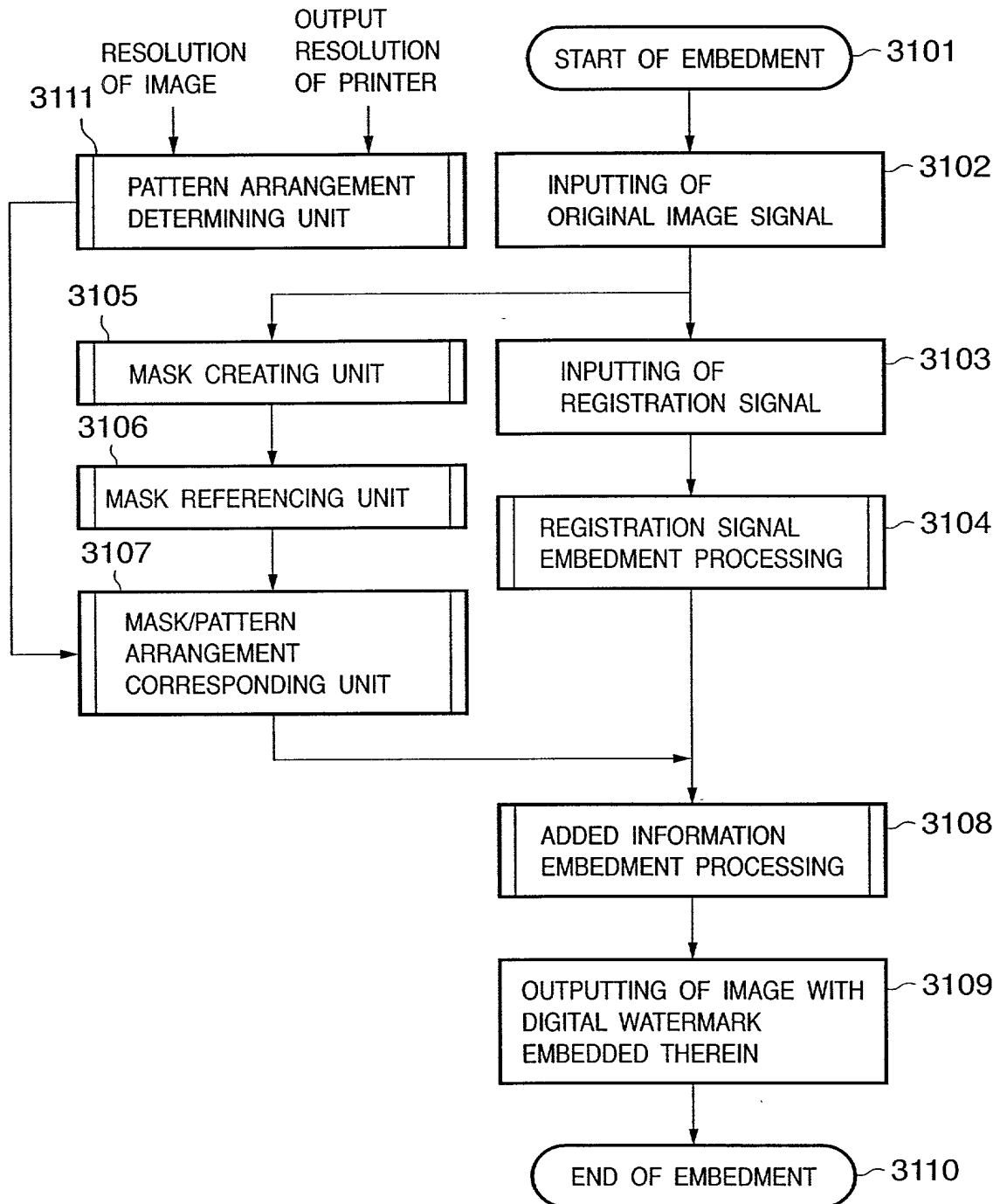


FIG. 32

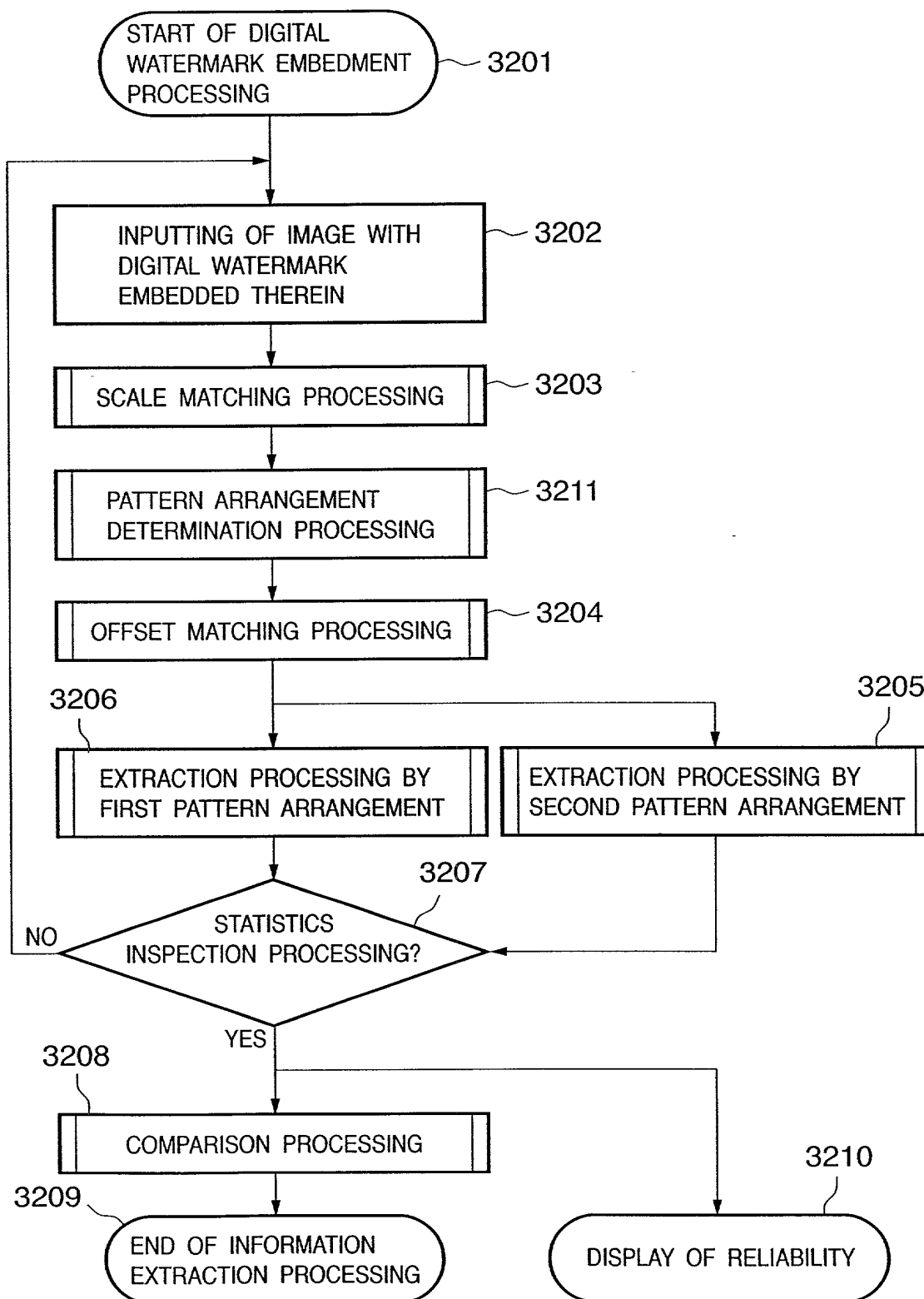


FIG. 33A

3301

0	0	0	0	+c	+c	+c	+c
0	0	0	0	+c	+c	+c	+c
0	0	0	0	+c	+c	+c	+c
0	0	0	0	+c	+c	+c	+c
-c	-c	-c	-c	0	0	0	0
-c	-c	-c	-c	0	0	0	0
-c	-c	-c	-c	0	0	0	0
-c	-c	-c	-c	0	0	0	0

FIG. 33B

3302

-c	-c	0	0	0	0	-c	-c
-c	-c	0	0	0	0	-c	-c
0	0	+c	+c	+c	+c	0	0
0	0	+c	+c	+c	+c	0	0
0	0	+c	+c	+c	+c	0	0
0	0	+c	+c	+c	+c	0	0
-c	-c	0	0	0	0	-c	-c
-c	-c	0	0	0	0	-c	-c

FIG. 34

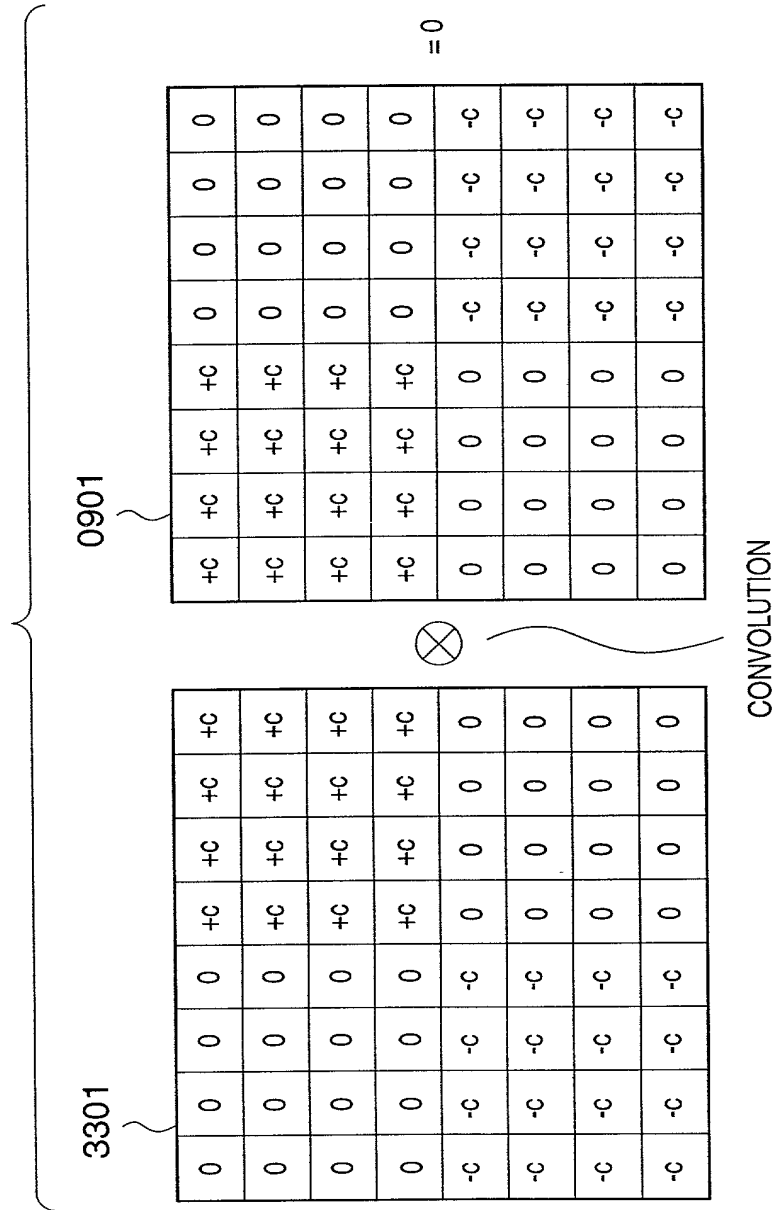
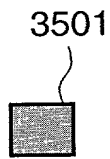
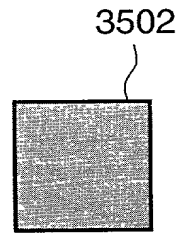


FIG. 35A



FIRST EMBEDMENT
POSITION REFERENCE MASK

FIG. 35B



SECOND EMBEDMENT
POSITION REFERENCE MASK

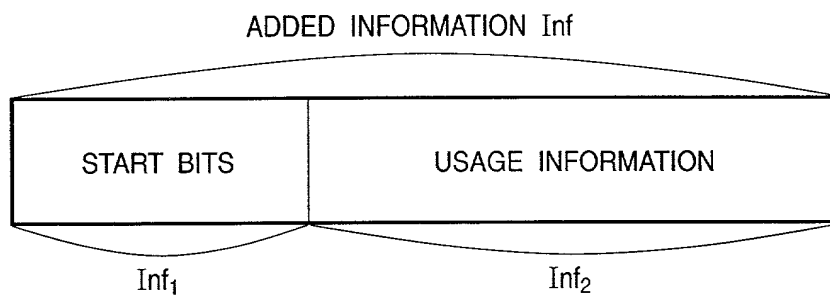
FIG. 36

FIG. 37

69	211	9	217	16	35	190	101
87	197	109	180	117	212	71	114
166	28	55	143	104	146	85	130
64	206	179	48	240	232	108	154
67	40	91	224	37	32	223	194
203	214	106	231	169	4	208	24
47	195	27	61	2	155	81	213
251	84	202	184	170	10	46	138

COEFFICIENT LAYOUT OF BLUE NOISE MASK (PARTIAL)

FIG. 37

FIG. 38

73	244	124	207	70	254	117	196
38	177	11	132	43	186	4	138
104	221	93	231	100	211	85	237
23	151	55	165	26	153	56	172
67	250	113	193	79	240	123	203
47	188	1	142	33	183	14	128
96	215	83	232	111	218	91	227
28	157	60	171	17	147	51	160

COEFFICIENT LAYOUT OF CONE MASK (PARTIAL)

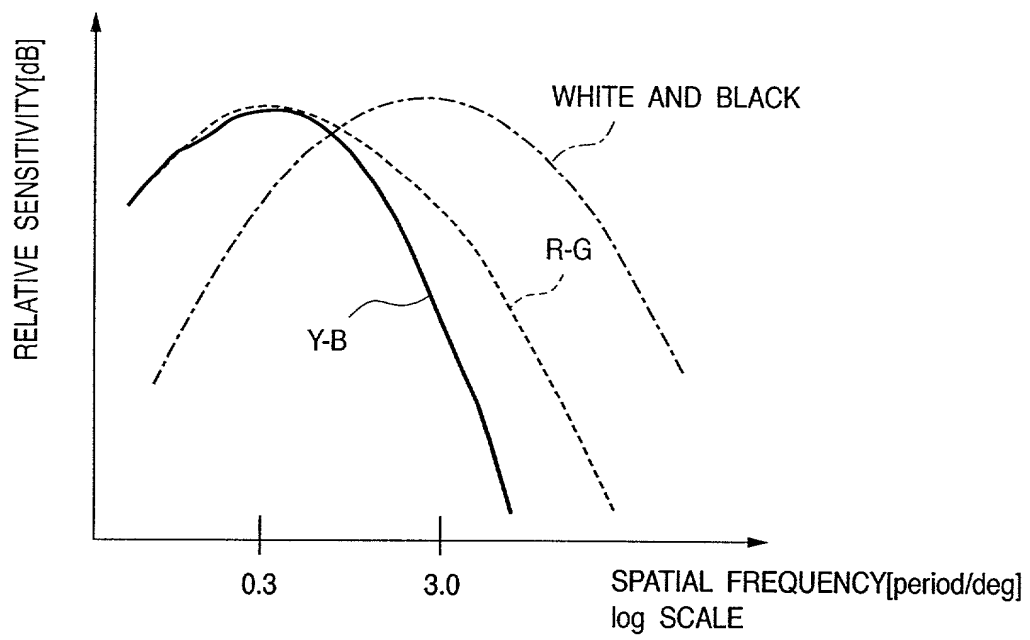
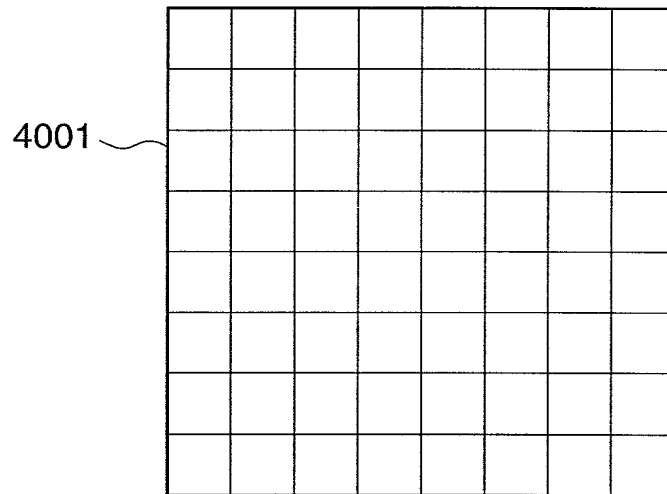
FIG. 39

FIG. 40



MINIMUM CODING UNIT (MCU)

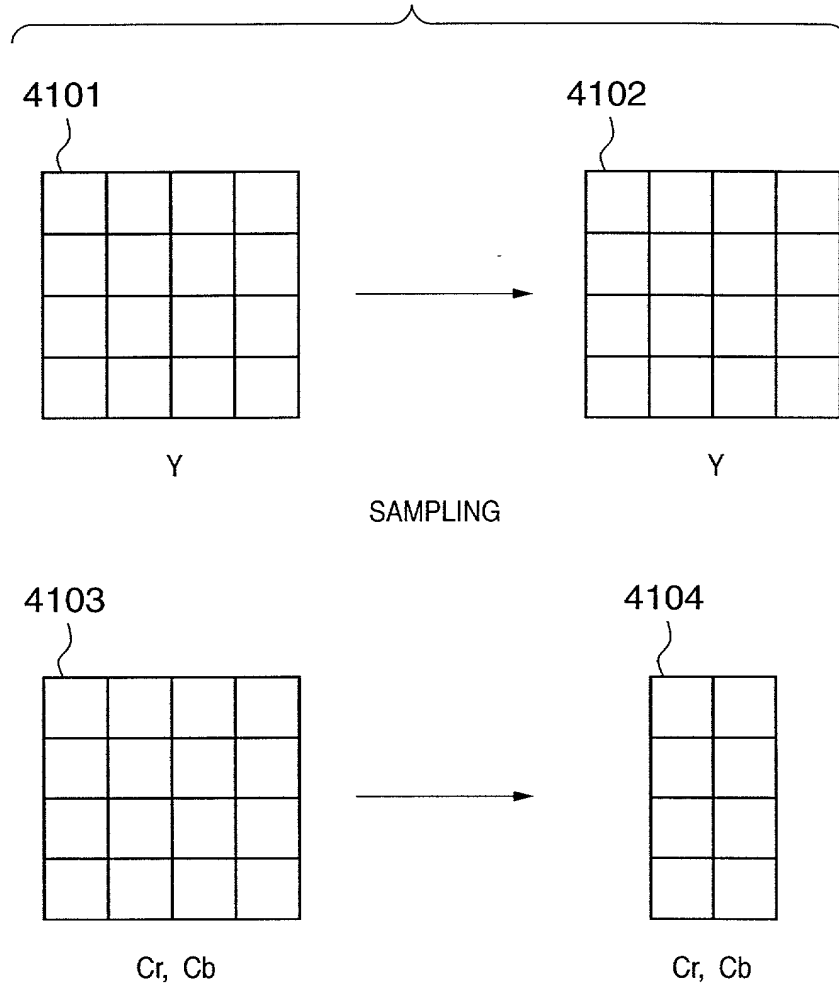
FIG. 41

FIG. 42

4201	+C	+C	+C	+C	0	0	0	0
	+C	+C	+C	+C	0	0	0	0
	+C	+C	+C	+C	0	0	0	0
	+C	+C	+C	+C	0	0	0	0
	0	0	0	0	-C	-C	-C	-C
	0	0	0	0	-C	-C	-C	-C
	0	0	0	0	-C	-C	-C	-C
	0	0	0	0	-C	-C	-C	-C

4202

FIG. 43

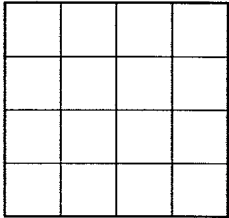
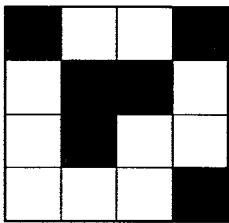
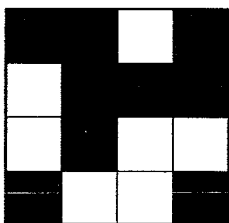

	...		...		...	
0	...	5	...	9	...	16

FIG. 44

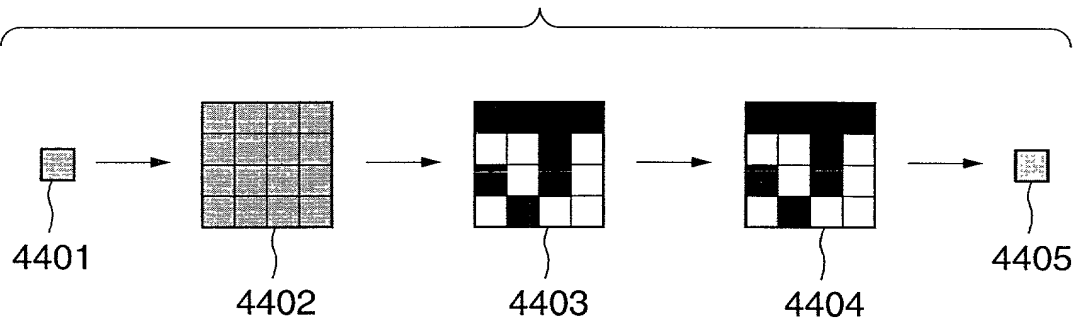


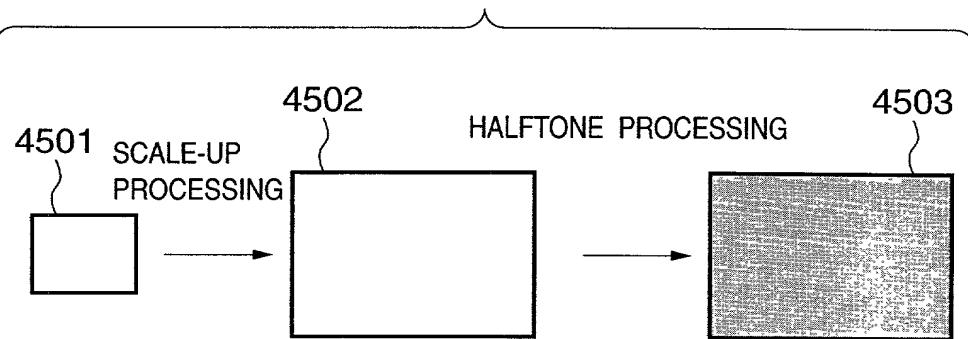
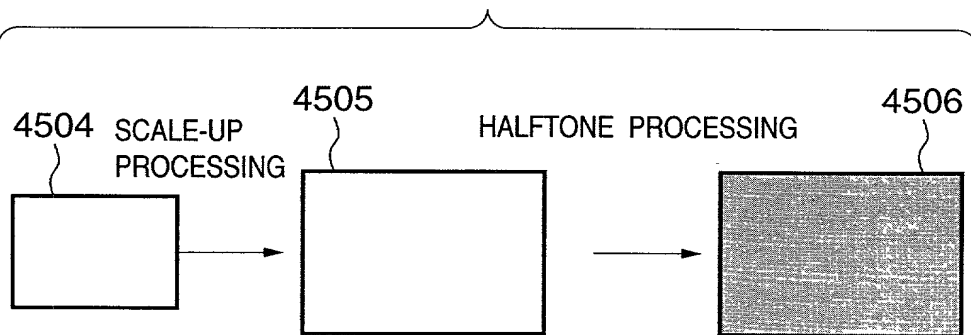
FIG. 45A**FIG. 45B**

FIG. 46

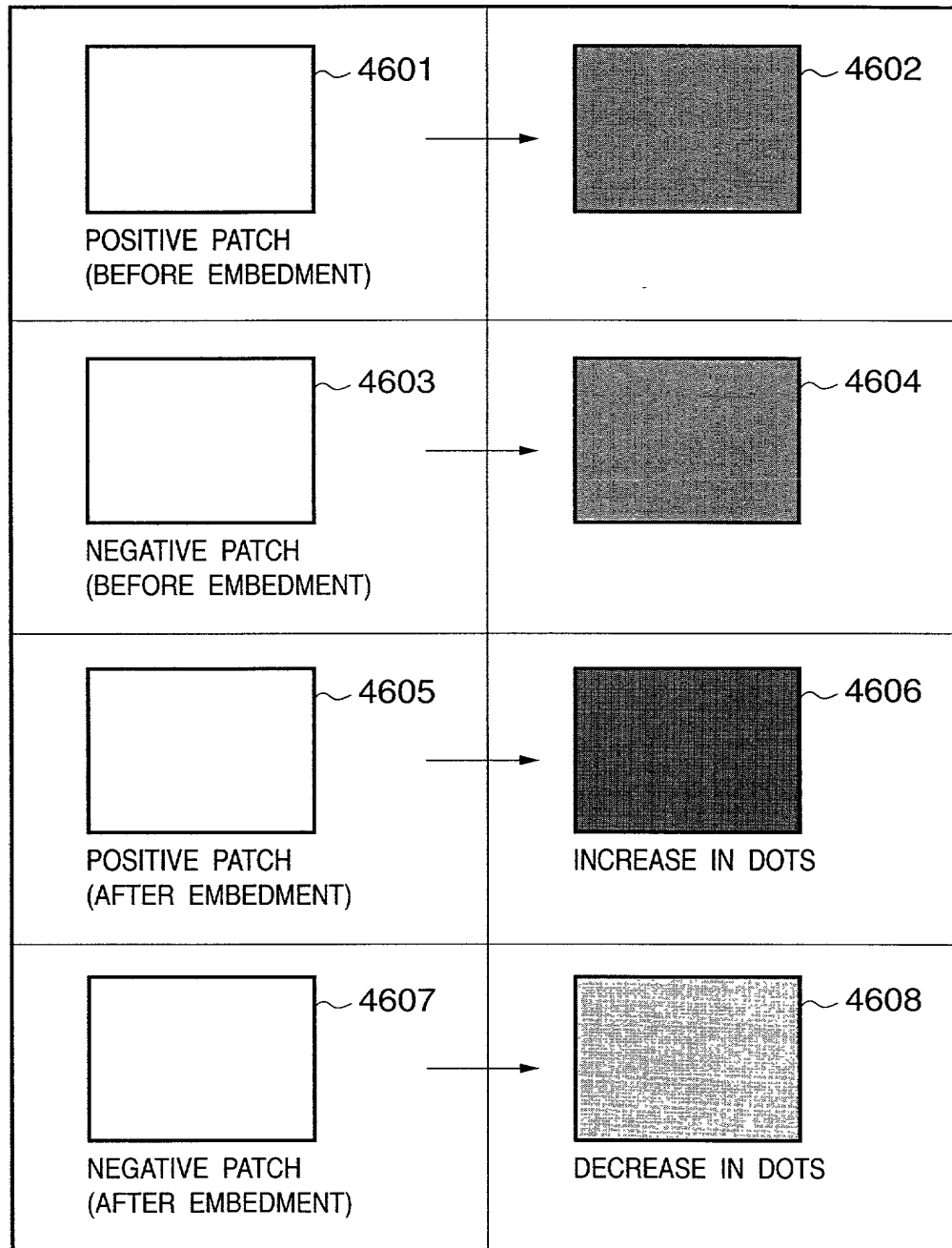


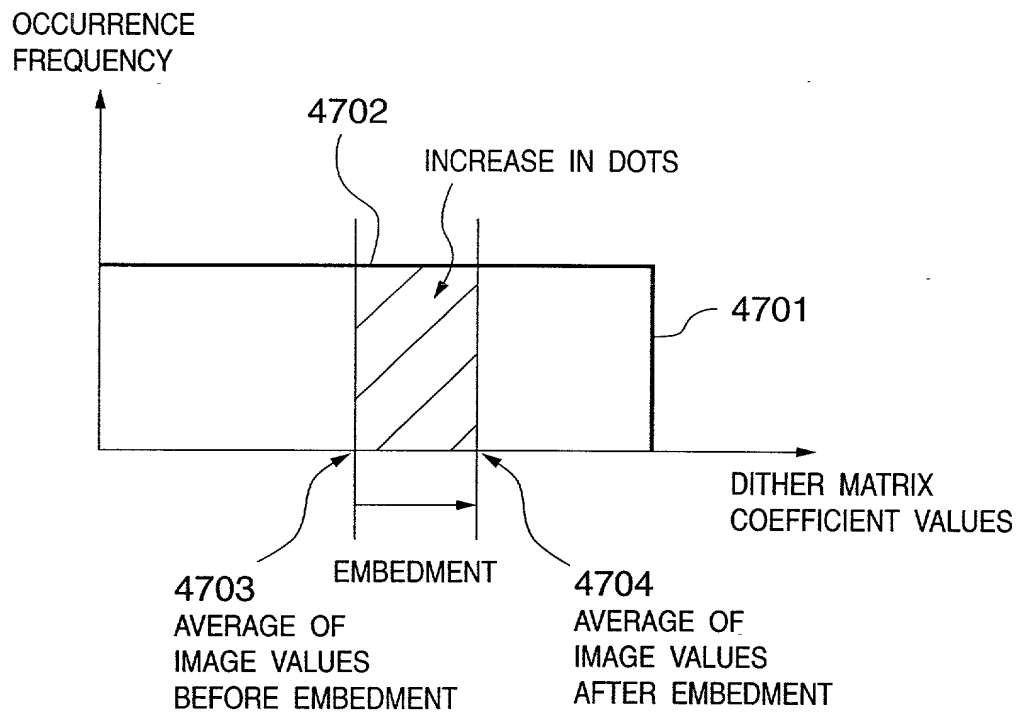
FIG. 47

FIG. 48A

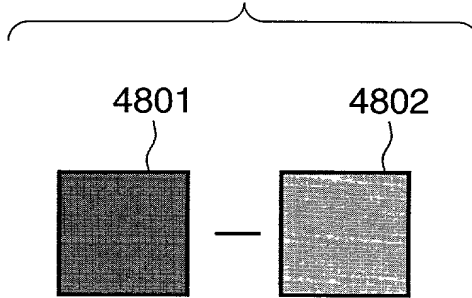
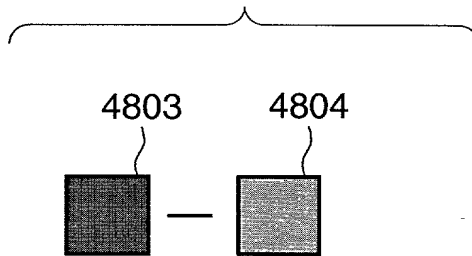


FIG. 48B



DIFFERENTIAL OF PATTERN
ARRANGEMENT UNITS

FIG. 48A

FIG. 49A

4901

+c	+c	+c	+c	0	0	0	0
+c	+c	+c	+c	0	0	0	0
+c	+c	+c	+c	0	0	0	0
+c	+c	+c	+c	0	0	0	0
0	0	0	0	-c	-c	-c	-c
0	0	0	0	-c	-c	-c	-c
0	0	0	0	-c	-c	-c	-c
0	0	0	0	-c	-c	-c	-c

FIG. 49C

4902

0	0	0	0	+c	+c	+c	+c
0	0	0	0	+c	+c	+c	+c
0	0	0	0	+c	+c	+c	+c
0	0	0	0	+c	+c	+c	+c
-c	-c	-c	-c	0	0	0	0
-c	-c	-c	-c	0	0	0	0
-c	-c	-c	-c	0	0	0	0
-c	-c	-c	-c	0	0	0	0

FIG. 49B

4903

+c	+c	+c	+c	+c	+c	0	0	0	0	0	0
+c	+c	+c	+c	+c	+c	0	0	0	0	0	0
+c	+c	+c	+c	+c	+c	0	0	0	0	0	0
+c	+c	+c	+c	+c	+c	0	0	0	0	0	0
+c	+c	+c	+c	+c	+c	0	0	0	0	0	0
+c	+c	+c	+c	+c	+c	0	0	0	0	0	0
0	0	0	0	0	0	-c	-c	-c	-c	-c	-c
0	0	0	0	0	0	-c	-c	-c	-c	-c	-c
0	0	0	0	0	0	-c	-c	-c	-c	-c	-c
0	0	0	0	0	0	-c	-c	-c	-c	-c	-c
0	0	0	0	0	0	-c	-c	-c	-c	-c	-c
0	0	0	0	0	0	-c	-c	-c	-c	-c	-c

FIG. 49D

4904

0	0	0	0	0	0	-c	-c	-c	-c	-c	-c
0	0	0	0	0	0	-c	-c	-c	-c	-c	-c
0	0	0	0	0	0	-c	-c	-c	-c	-c	-c
0	0	0	0	0	0	-c	-c	-c	-c	-c	-c
0	0	0	0	0	0	-c	-c	-c	-c	-c	-c
0	0	0	0	0	0	-c	-c	-c	-c	-c	-c
+c	+c	+c	+c	+c	+c	0	0	0	0	0	0
+c	+c	+c	+c	+c	+c	0	0	0	0	0	0
+c	+c	+c	+c	+c	+c	0	0	0	0	0	0
+c	+c	+c	+c	+c	+c	0	0	0	0	0	0
+c	+c	+c	+c	+c	+c	0	0	0	0	0	0
+c	+c	+c	+c	+c	+c	0	0	0	0	0	0

FIG. 50A

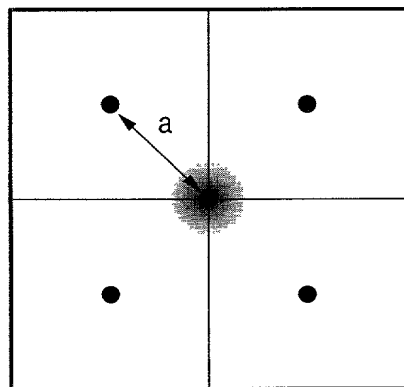


FIG. 50B

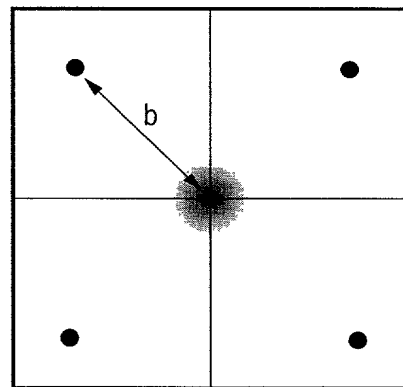


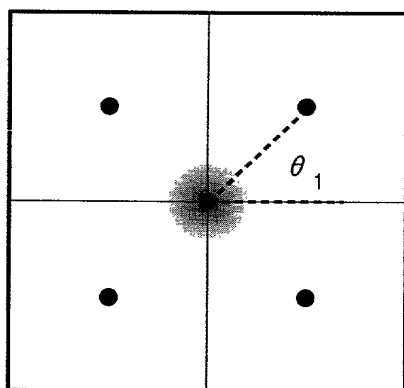
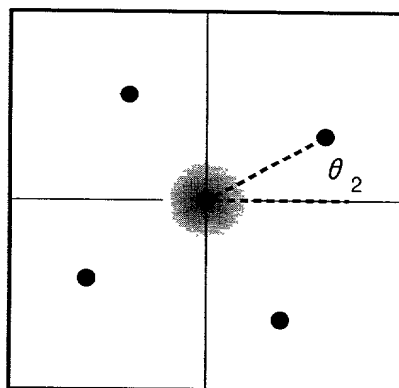
FIG. 51A**FIG. 51B**

FIG. 52

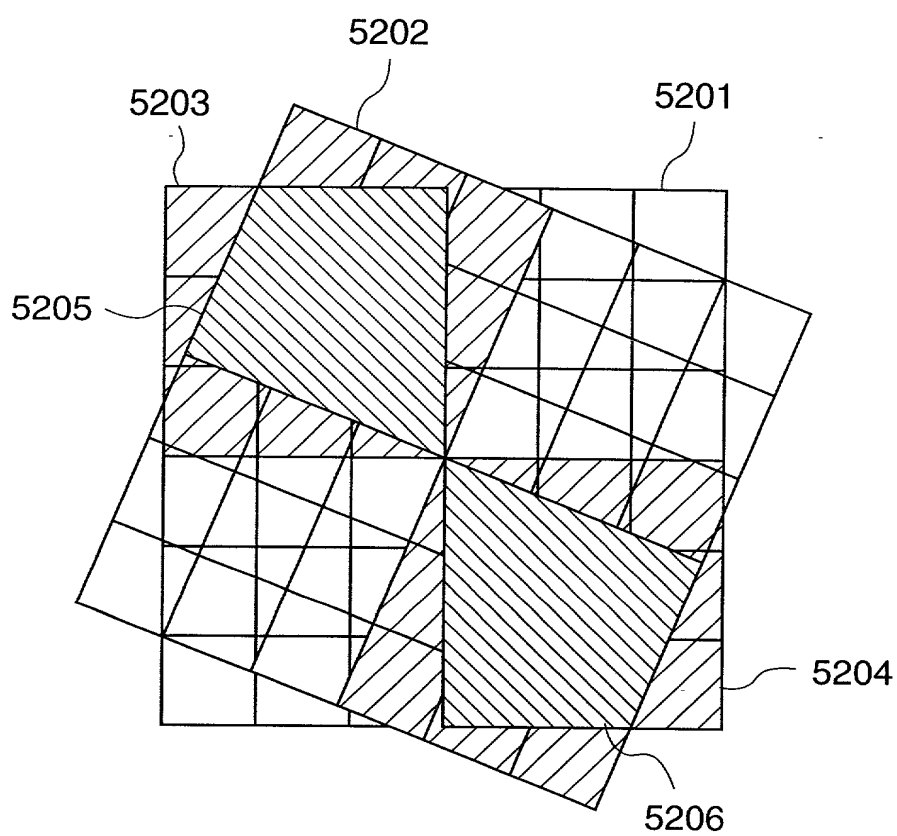


FIG. 52

FIG. 53